

ANEXO 1: Secuencias de primers

Nespas

Nombre primer	Secuencia dirección 5' → 3'
604	Forward GTAATTTATAGGGTTTATTG
605	Reverse ATCCATTCTCTTAAACTCACC
606	Forward GAGAGGATTAGTGGAGGTATTTT
607	Reverse ACTCACCCCTCTAACTCTACAAAAAAT
608	Forward AGGGTTTATTGTTTATTTTTTT
609	Reverse AAATATACCTACCTCAAACCACTAC
638 (607+M13)	CGCCAGGGTTTCCCAGTCACGACTCACCCCTCTAACTCTACAAAAAAT
669	Forward GAGTTTAGATTAGAG
670 (606-Biot.)	Biot-GAGAGGATTAGTGGAGGTATTTT

Chd2

Nombre primer	Secuencia dirección 5' → 3'
610	Forward TTTATAGAGGAAGTAGTAGA
611	Reverse ACTCTAATAATAAAAATAAAAAC
612	Forward GTTTATATAGTTAATTAGTATT
613	Reverse TCTTAATACAAATCCAACTC
639 (611+M13)	CGCCAGGGTTTCCCAGTCACGACTCTAATAATAAAAATAAAAAC
671 (611-Biot.)	Biot-ACTCTAATAATAAAAATAAAAAC

PisD

Nombre primer	Secuencia dirección 5' → 3'
616	Forward TTTTATAAAAGGTTGATTGT
617	Reverse CAAAACCTAATATTAAAACC
636	Forward GGAGATGTAGTAGAAAAAGAAA
637	Reverse CAAATAATATACCTTCCACCTA
667 (617+M13)	CGCCAGGGTTTCCCAGTCACGCAAAACCTAATATTAAAACC

Ly6c1

Nombre primer	Secuencia dirección 5' → 3'
640	Forward GTATAAGGAAAAAGTAGGAGAAA
641	Reverse ACCAACTAATATCAACAAAAC
642	Forward TTGAAATAATAGGTTATATGAAGGTTAGTT
643	Reverse ATTTTATCCAAACACAAAAAAA
668 (642+M13)	CGCCAGGGTTTCCCAGTCACGTTGAAATAATAGGTTATATGAAGGTTA GTT

ANEXO 2: Condiciones de PCR para la amplificación de dianas genómicas

Nespas

PCR

	Concentración []	Volumen μl
DNA		2
604	10 μM	2
605	10 μM	2
Buffer*	10X	5
MgCl₂	50mM	1
dNTPs	5mM	2
Taq Polimerasa*	5 U/ μl	0,1
H₂Omq		34,9
		50

*Sigma Aldrich Ref. D1806

100°C _____ 3'
 94°C _____ 30'' }
 53°C _____ 30'' } 30 ciclos
 72°C _____ 30'' }
 72°C _____ 10'

Nested PCR

	Concentración []	Volumen μl
Prod. PCR diluido 1/10		2
606	10 μM	2
607	10 μM	2
Buffer*	10X	5
MgCl₂	50mM	1
dNTPs	5mM	2
Taq Polimerasa*	5 U/ μl	0,1
H₂Omq		34,9
		50

*Sigma Aldrich Ref. D1806

100°C _____ 3'
 94°C _____ 30'' }
 53°C _____ 30'' } 30 ciclos
 72°C _____ 30'' }
 72°C _____ 10'

Chd2

PCR

	Concentración []	Volumen μl
DNA		2
610	10 μM	2
611	10 μM	2
Buffer*	10X	5
MgCl₂	50mM	1
dNTPs	5mM	2
Taq Polimerasa*	5 U/ μl	0,1
H₂Omq		34,9
		50

*Sigma Aldrich Ref. D1806

100°C _____ 3'
 94°C _____ 30'' }
 53°C _____ 30'' } 40 ciclos
 72°C _____ 30'' }
 72°C _____ 10'

PisD

PCR

	Concentración []	Volumen μ l
DNA		2
636	10 μ M	2
637	10 μ M	2
Buffer*	10X	5
MgCl₂	50mM	1
dNTPs	5mM	2
Taq Polimerasa*	5 U/ μ l	0,1
H₂Omq		34,9
		50

*Sigma Aldrich Ref. D1806

100°C _____ 3'
 94°C _____ 30'' }
 57°C _____ 30'' } 40 ciclos
 72°C _____ 30'' }
 72°C _____ 10'

Ly6c1

PCR

	Concentración []	Volumen μ l
DNA		2
640	10 μ M	2
641	10 μ M	2
Buffer*	10X	5
MgCl₂	50mM	1
dNTPs	5mM	2
Taq Polimerasa*	5 U/ μ l	0,1
H₂Omq		34,9
		50

100°C _____ 3'
 94°C _____ 30'' }
 57°C _____ 30'' } 30 ciclos
 72°C _____ 30'' }
 72°C _____ 10'

*Sigma Aldrich Ref. D1806

Nested PCR

	Concentración []	Volumen μ l
Prod. PCR diluido 1/10		2
642	10 μ M	2
643	10 μ M	2
Buffer*	10X	5
MgCl₂	50mM	1
dNTPs	5mM	2
Taq Polimerasa*	5 U/ μ l	0,1
H₂Omq		34,9
		50

100°C _____ 3'
 94°C _____ 30'' }
 57°C _____ 30'' } 30 ciclos
 72°C _____ 30'' }
 72°C _____ 10'

*Sigma Aldrich Ref. D1806

ANEXO 3: Pirogramas relacionados con el locus Nespas

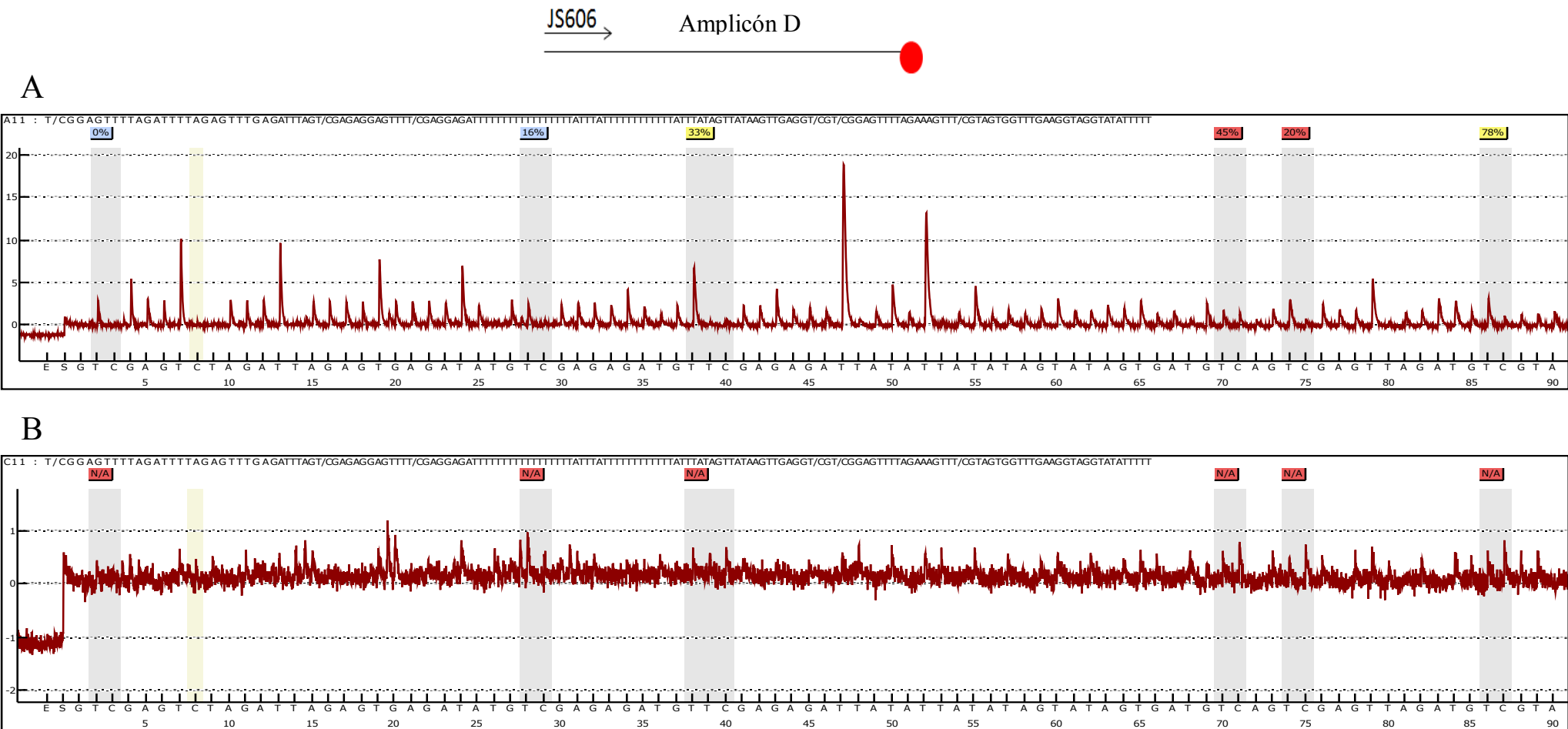
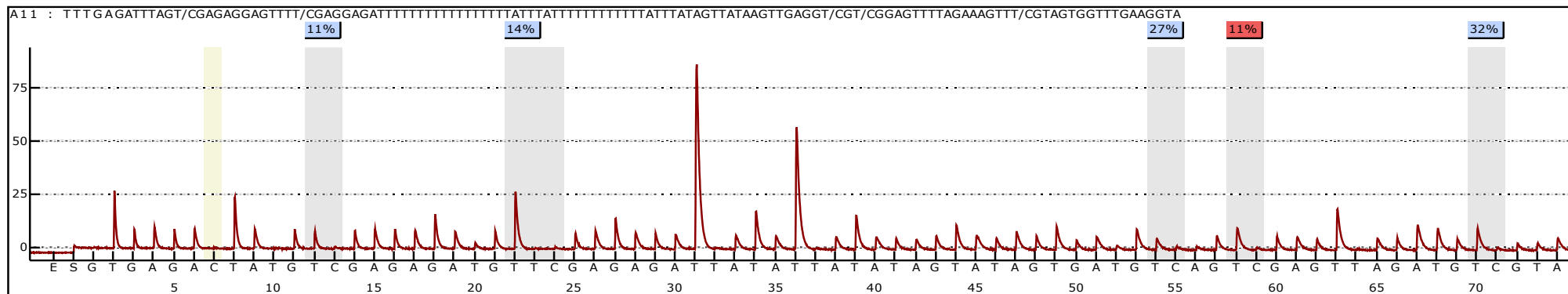


Fig1. Pirogramas. (A) Secuencia del Amplicón D utilizando el primer 606 (Fig.9A). (B) Secuencia control del Amplicón D sin primer de secuenciación. La abundancia relativa entre T/C en las posiciones indicadas en gris equivale al nivel de metilación de los dinucleótidos CpG analizados. Porcentajes en azul son considerados fiables por el programa, en amarillo a valorar por el usuario y rojo no fiables.

A

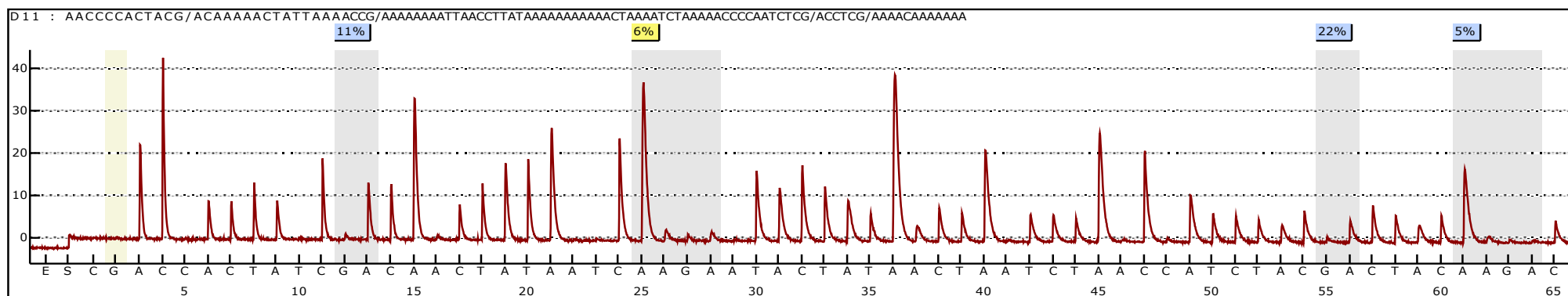
669 Amplicón D



B

Amplicón B

←
607



C

Amplicón B

609

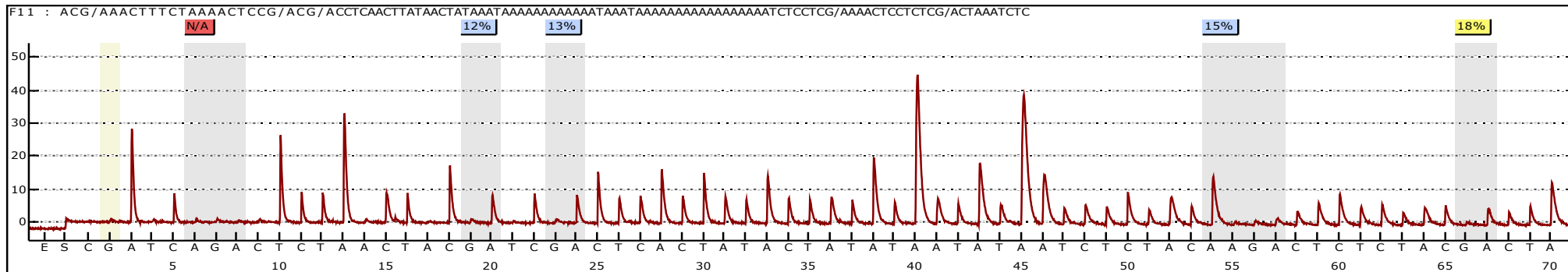
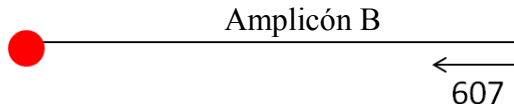


Fig2. Pirogramas resultantes los intentos de secuenciación del locus *Nespas* en el proceso de optimización. Los amplicones y primers están indicados encima de cada pirograma y del mismo modo en las figuras 9A y B del trabajo. (A) Secuencia del Amplicón D utilizando el primer de secuenciación 669 (Fig.9A). (B) Secuencia del Amplicón B utilizando el primer de secuenciación 607 (Fig.9B). (C) Secuencia del Amplicón B utilizando el primer de secuenciación 609 (Fig.9B). La abundancia relativa entre T/C ó G/A (dependiendo de la cadena secuenciada) en las posiciones indicadas en gris equivale al nivel de metilación de los dinucleótidos CpG analizados. Porcentajes en azul son considerados fiables por el programa, en amarillo a valorar por el usuario y rojos no fiables.

ANEXO 4: Pirogramas del locus Nespas con el primer de secuenciación 607



61 CGAGAGGATCAGTGGAGGCACCTCTCGGAGTCTTAGACTTCAGAGTCTGAGACTTAGCGA
++||||||:||||||:||:||:||++||:||||:||:||||:||:||||:||:||||:||+||
61 CGAGAGGATTAGTGGAGGTATTTT CGGAGTTAGATTTAGAGTTGAGATTAGCGA
606
121 GAGGAGCCTCGAGGAGACTCCTCTCTCTTACCCATCCCTTCTTTACTTACAGC
||||||:||+|||:||:||:||:||:||:||:||:||:||:||:||:||:||:||:||:
121 GAGGAGTTCGAGGAGATTTTTTTTTTTTATTATTTTTTTTATTATAGT
181 CACAAGCTGAGGCGCGAGCTTAGAAAGTCGCAGTGGTTGAAGGTAGGTACATCCCT
:||:||:|||:|||+|||:||:|||:|||:|||:|||:|||:|||:|||:
181 TATAAGTTGAGGCGCGAGTTAGAAAGTCGTAGTGGTTGAAGGTAGGTATATTTT
241 TCTTTTGCCCCGAGGCAGATTGGGGTCTTCAGACCCAGCTCTCCTCATAAGTT
|:|||:||:||+|||+|||:|||:|||:|||:|||:|||:|||:|||:
241 TTTTTTGTTCGAGGCGAGATTGGGGTTTAGATTTAGTTTTTTTATAAGGTT
301 AATCCTTTCGGCCCAACAGTCCTGCGCAGTGGGCCACTCTGCAGAGCCAGAGGG
||||:|||:||+||:||:||:||:||:||:||:||:||:||:||:||:||:||:
301 AATTTTTTCTGGTTTAATAGTTTGCCTAGTGGGGTTATTTTGAGAGTTAGAGGG

Secuencia original:

(CCCTCTGGCTCTGCAGAGAGT)
GGCCCCACTGCGCAAGGACTGTTGGGGCCGAAAGGATTAA
ACCTTATGAGGAGAGAAGCTGGGTCTGAAGACCCCCAATC
TCGCCTCGGGGCAAAAAGA

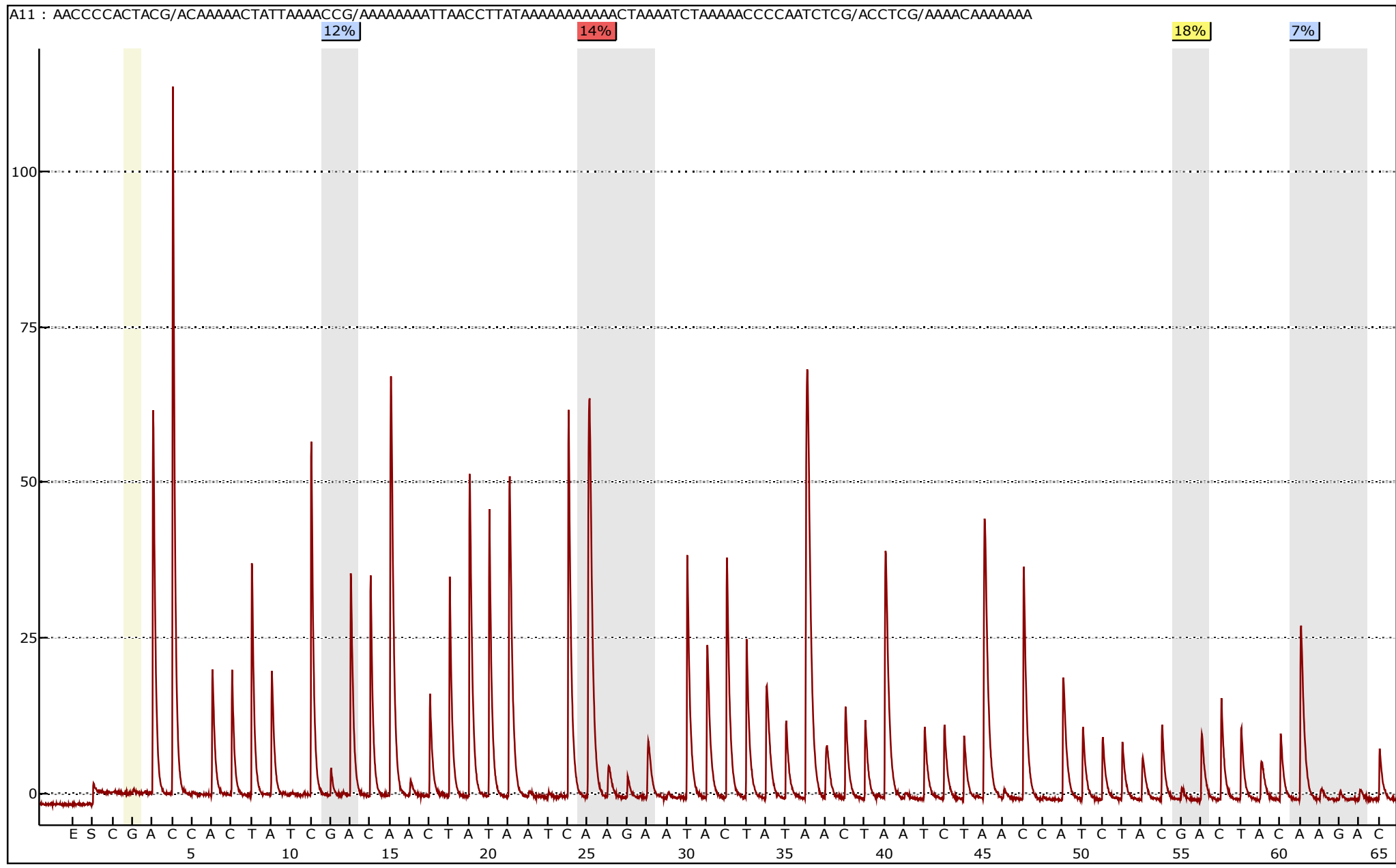
Secuencia modificada:

(CCCTCTAACTCTACAAAAAAAT)
AACCCCCACTA**CG**AAAAAACTATTAAA**ACG**AAAAAAAATT
ACCTTATAAAAAAAAAAACTAAAATCTAAAAACCCCAATC
TCGCCT**CG**AAACAAAAAAA

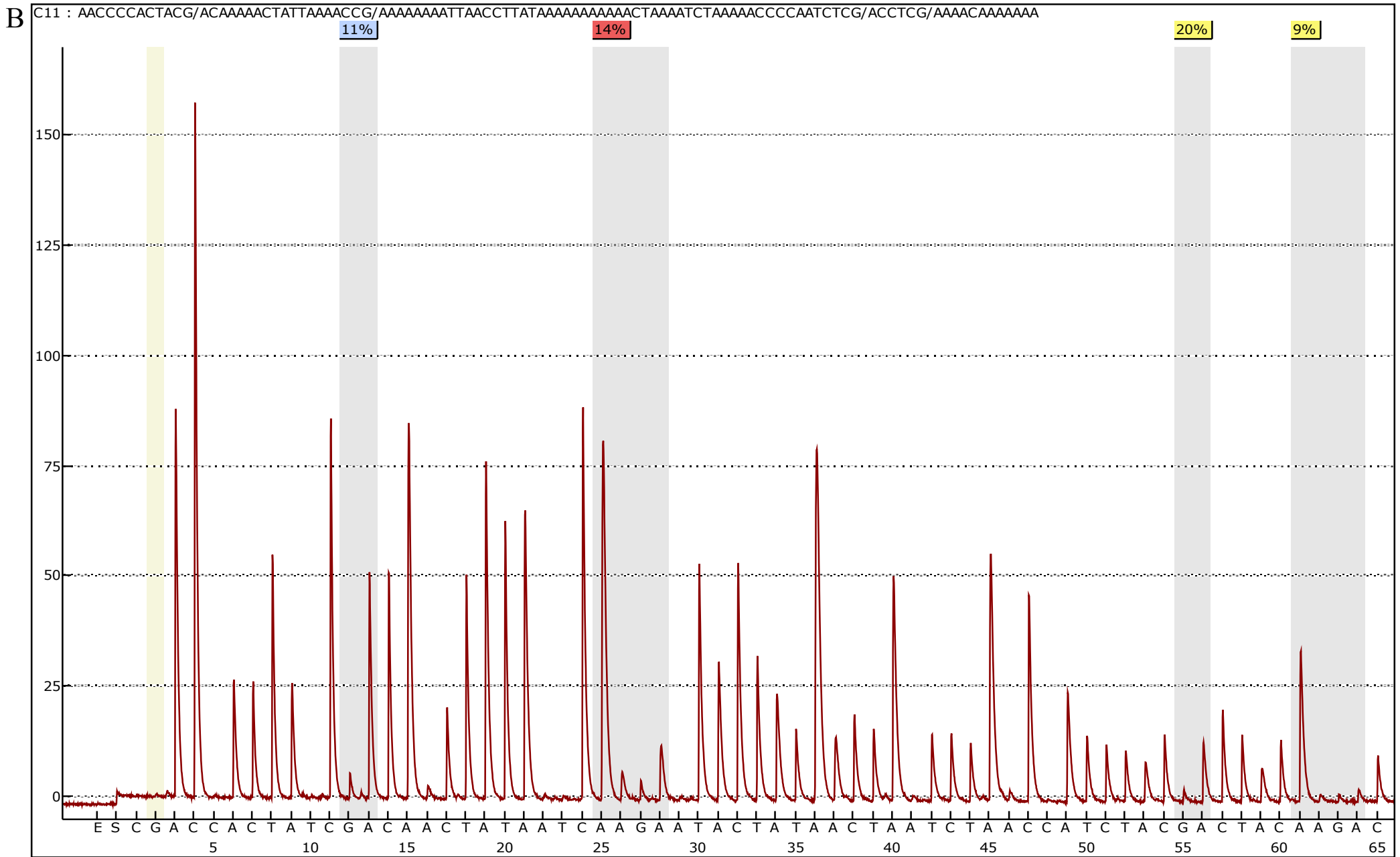
Fig2. Secuencias (5'→3') de la hebra - original y modificada esperadas mediante la utilización del primer 607 para la secuenciación. En azul se indica el primer 607. En rojo dinucleótidos CpG que serán analizados mediante pirosecuenciación.

Fig1. Secuencia de la diana genómica *Nespas* correspondiente a la hebra +. En la primera fila la secuencia original, en la fila de abajo secuencia tras la modificación con bisulfito de sodio (suponiendo la conservación de posiciones CpG metiladas). En azul posiciones de los primers. Representado con “.” las transformaciones de citosinas a timinas. Con “+” dinucleótidos CpG susceptibles de metilación

A

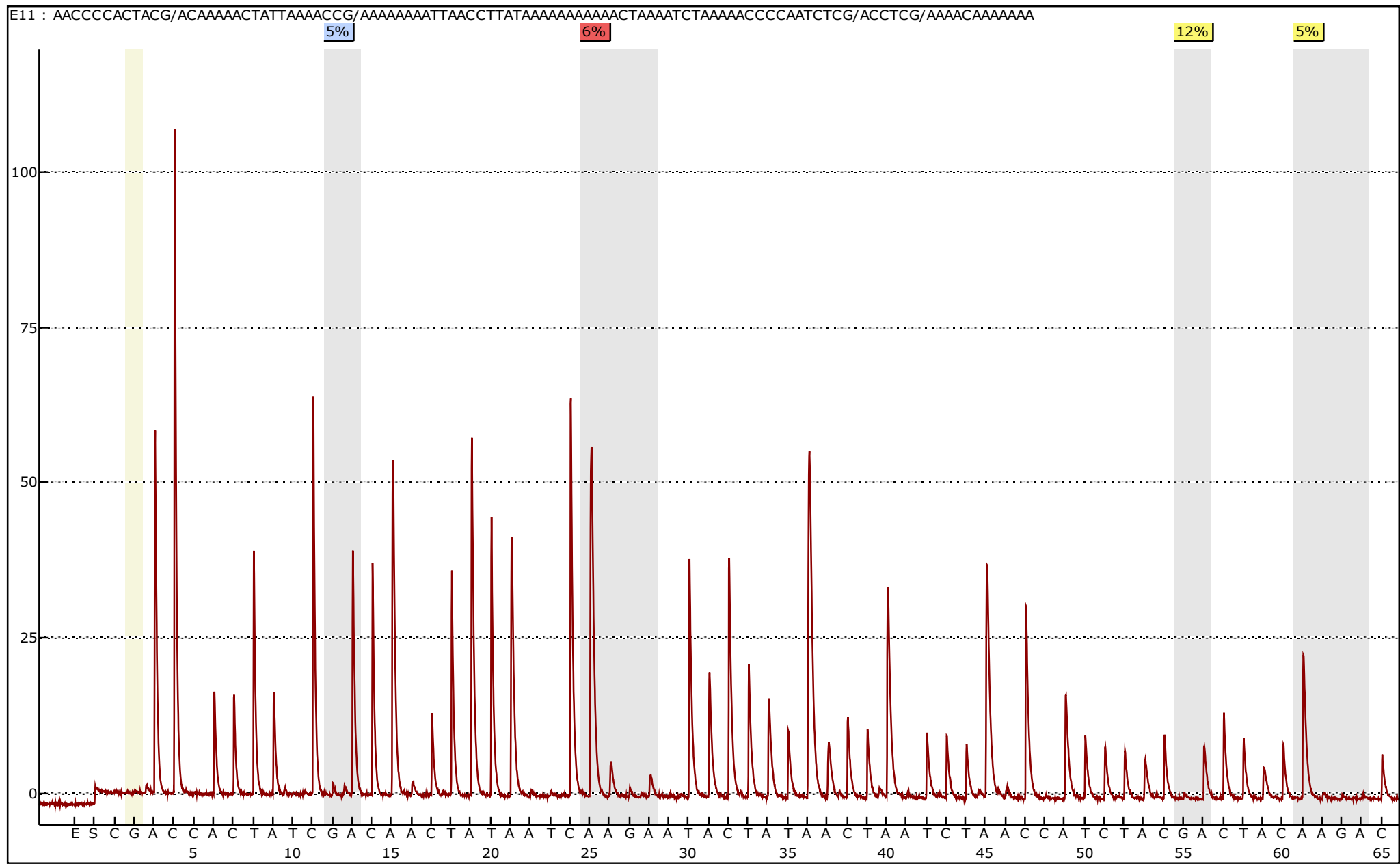


(A) Pirograma. Secuencia del amplicón B de la línea celular ES wt con el primer 607 (Fig. 1, anexo 4). La abundancia relativa entre G/A en las posiciones indicadas en gris equivale al nivel de metilación de los dinucleótidos CpG analizados. Porcentajes en azul son considerados fiables por el programa, en amarillo a valorar por el usuario y rojos no fiables.



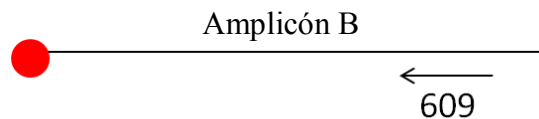
(B) Pirograma. Secuencia del amplicón B de la línea celular ES-MAR wt con el primer 609 (Fig.1, anexo5). La abundancia relativa entre G/A en las posiciones indicadas en gris equivale al nivel de metilación de los dinucleótidos CpG analizados. Porcentajes en azul son considerados fiables por el programa, en amarillo a valorar por el usuario y rojos no fiables.

C



(C) Pirograma. Secuencia del amplicón B de la línea celular ES Rex1 -/- con el primer 609 (Fig.1, anexo5). La abundancia relativa entre G/A en las posiciones indicadas en gris equivale al nivel de metilación de los dinucleótidos CpG analizados. Porcentajes en azul son considerados fiables por el programa, en amarillo a valorar por el usuario y rojos no fiables.

ANEXO 5: Pirogramas del locus Nespas con el primer de secuenciación 609



Secuencia original:

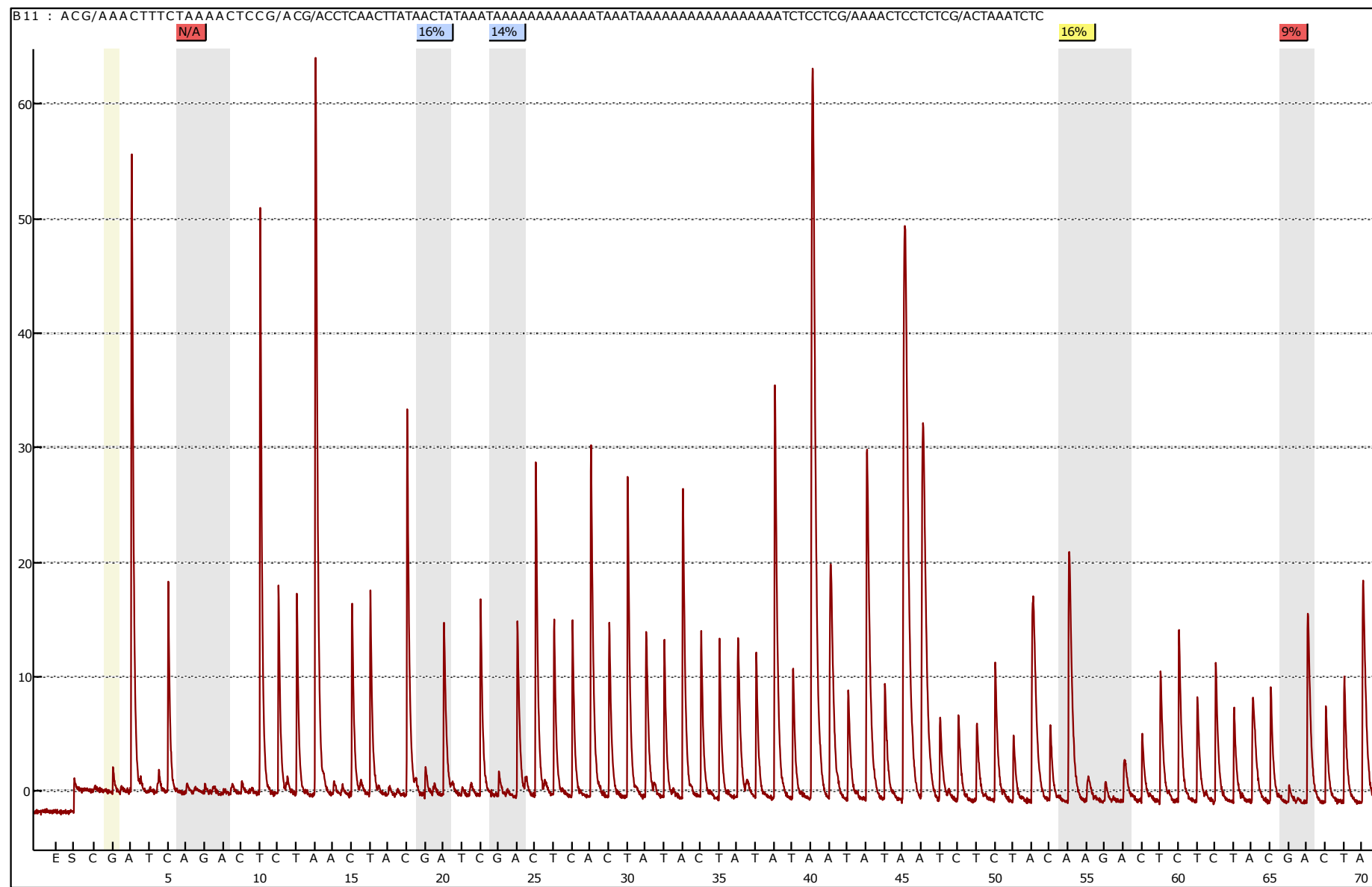
(GGATGTACCTACCTTCAACCAGTC)
GAACTTCTAAAGCTCCGCCCTCAGCTTGCGCTGTAAG
TAAAAGAAAGGGATGGGTAAGAAGAGAGAAGGAGTCTCC
TCGAGGCTCCTCTCGCTAACGTCTC

Secuencia modificada:
(AAATATACTACCTTCAAACCACTAC)
GAACTTCTAAACTC**CGCGCCTCAACT**
TAAAAAAAAAAAATAAAATAAAAAAAAAA

Fig2. Secuencias (5' → 3') de la hebra - original y modificada esperadas mediante la utilización del primer 609 para la secuenciación. En azul se indica el primer 609. En rojo dinucleótidos CpG que serán analizados mediante pirosecuenciación.

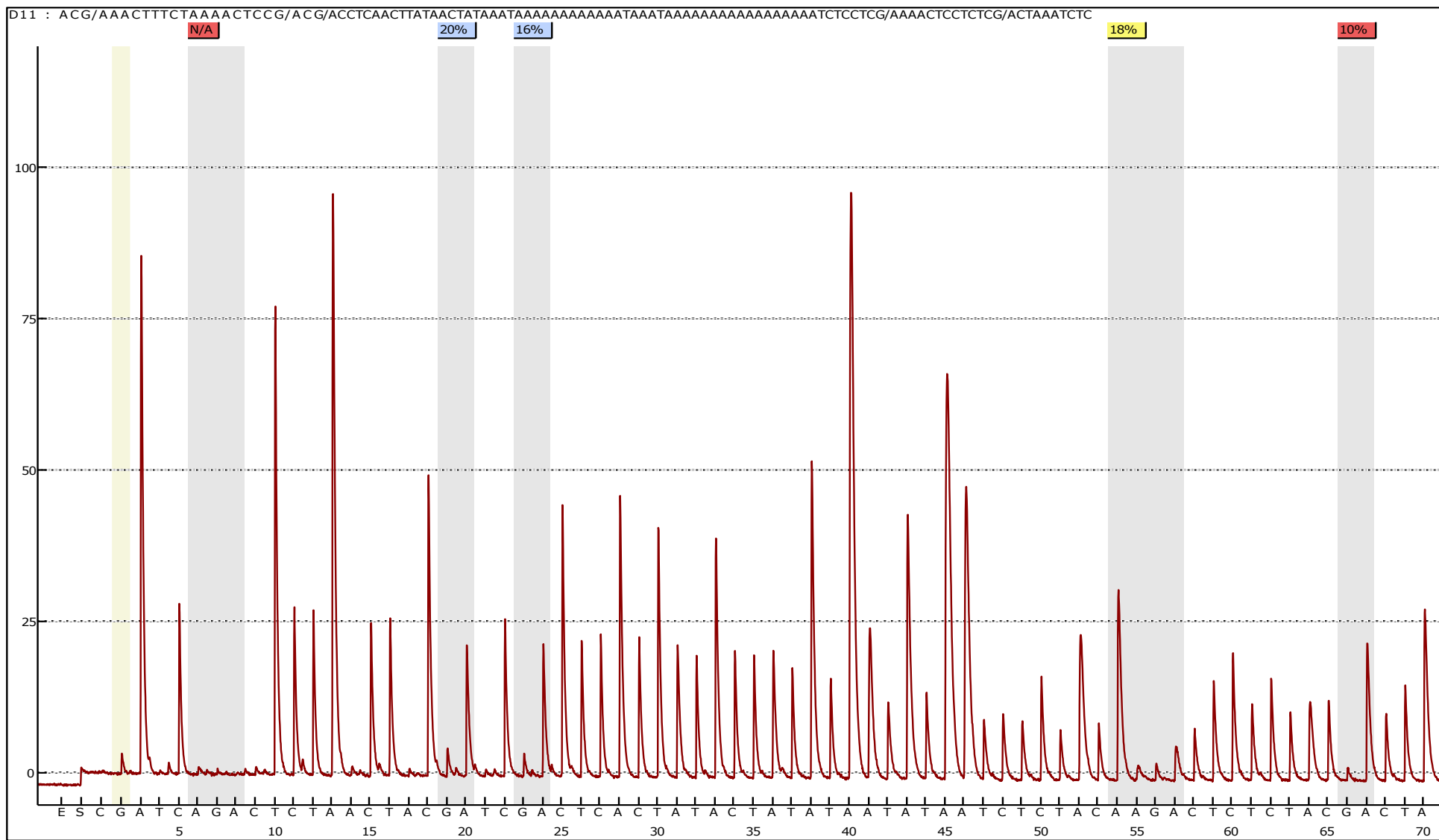
Fig1. Secuencia de la diana genómica *Nespas* correspondiente a la hebra +. En la primera fila la secuencia original, en la fila de abajo secuencia tras la modificación con bisulfito de sodio (suponiendo la conservación de posiciones CpG metiladas). En azul posiciones de los primers. Representado con “:” las transformaciones de citosinas a timinas. Con “+” dinucleótidos CpG susceptibles de metilación.

A



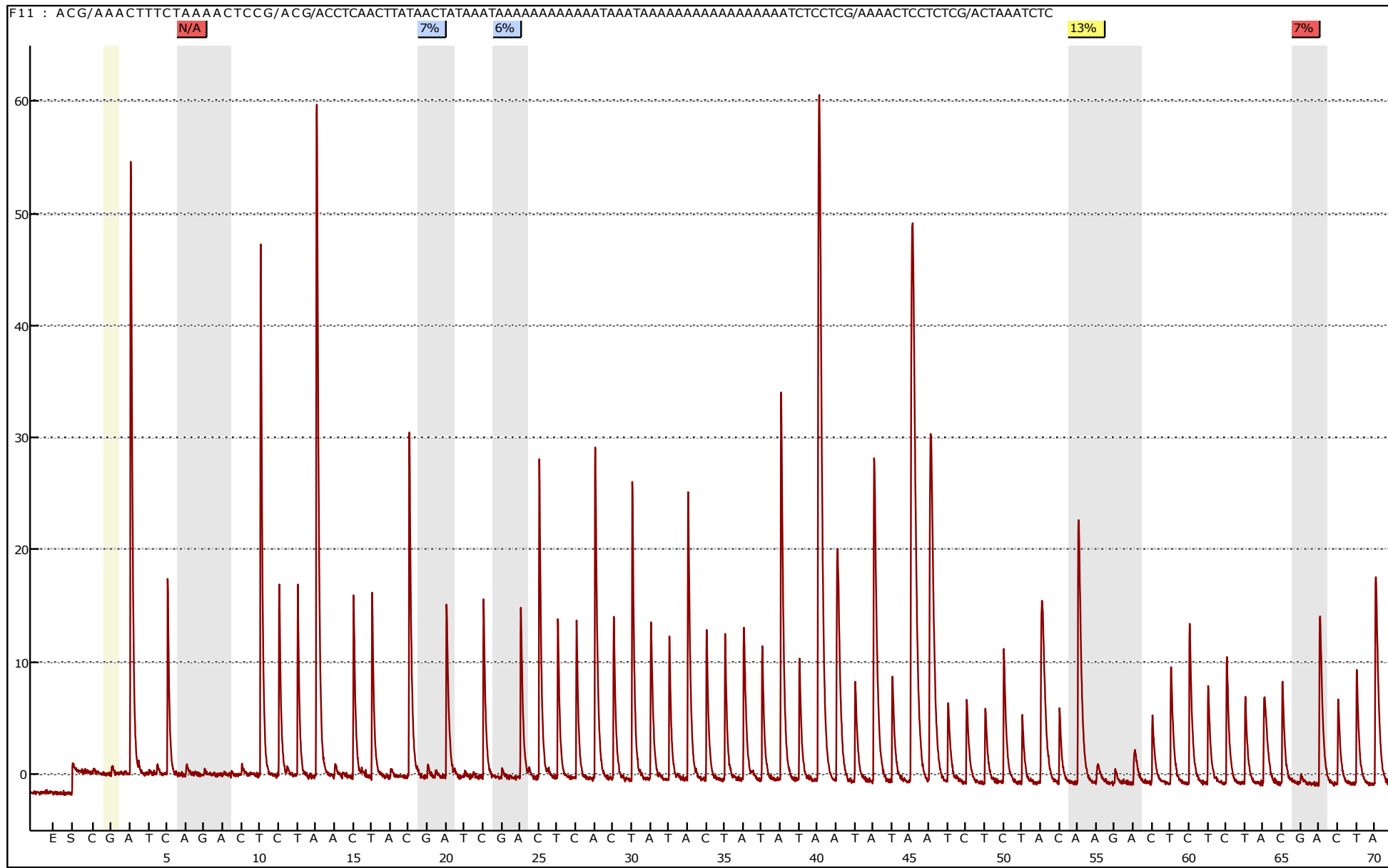
(A) Pirograma. Secuencia del amplicón B de la línea celular ES wt con el primer 609 (Fig.1, anexo 5). La abundancia relativa entre G/A en las posiciones indicadas en gris equivale al nivel de metilación de los dinucleótidos CpG analizados. Porcentajes en azul son considerados fiables por el programa, en amarillo a valorar por el usuario y rojos no fiables.

B



(B) Pirograma. Secuencia del amplicón B de la línea celular ES-MAR wt con el primer 609 (Fig.1, anexo5). La abundancia relativa entre G/A en las posiciones indicadas en gris equivale al nivel de metilación de los dinucleótidos CpG analizados. Porcentajes en azul son considerados fiables por el programa, en amarillo a valorar por el usuario y rojos no fiables.

C



(C) Pirograma. Secuencia del amplicón B de la línea celular ES Rex1 -/- con el primer 609 (Fig.1, anexo5). La abundancia relativa entre G/A en las posiciones indicadas en gris equivale al nivel de metilación de los dinucleótidos CpG analizados. Porcentajes en azul son considerados fiables por el programa, en amarillo a valorar por el usuario y rojos no fiables.